

## تشييد ودراسة خصائص نكلوزيدات نافت [1,2-d] إيميدازول

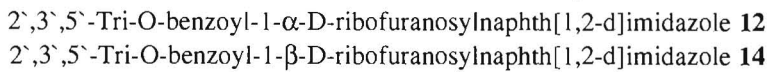
### Synthesis and Property Studies of Naphth[1,2-d]imidazole Ribonucleosides

فاطمة الزهراء الببيه\*، ليلى بريك أبوالعلا و عبدالله بن عبدالله حجازي

Fatma Elzahra El-Baih, Layla Breek Abu-El-Ela, and Abdulah Abdulah Hijazi

\* قسم الكيمياء - كلية العلوم - جامعة الملك سعود - أقسام العلوم والدراسات الطبية  
ص.ب 22452 الرياض 11495 - المملكة العربية السعودية

المستخلص: أدى تفاعل الصهر بين 2,3,5-Tri-O-benzoyl-1-bromo-D-ribofuranose **11** و Trimethylsilylnaphth[1,2-d]imidazole **9** إلى تكون خليط أنوميري يتتألف من:



وقد تم تحضير الخليط الأنوميري السابق باتباع طريقة أخرى وذلك بمعاملة القاعدة المسيلة: **9** مع السكر المحمي **10** 1-O-acetyl-2,3,5-Tri-O-benzoyl-β-D-ribofuranose. يجدر بالذكر في فصل الخليط الأنوميري هذا إلى استخدام طريقة الفصل اللوني (Chromatography)، وبيان توزع مجموعة البنزويل الحصول على النكلوزيدين المنشودين **13** و **15**. وقد تؤكد من التركيب الثنائي عن طريق تحليل عناصر CHN وبواسطة الأطيف الأطياف (UV,  $^1\text{H}$  &  $^{13}\text{C}$ NMR).

**كلمات مدخلية:** خليط أنوميري، نكلوزيدات، إيميدازول، الفصل اللوني.

**Abstract:** The fusion reaction between 1-Trimethylsilylnaphth[1,2-d]imidazole **9** and 2,3,5-Tri-O-benzoyl-1-bromo-D-ribofuranose **11** lead to an anomeric mixture of 2',3',5'-Tri-O-benzoyl-1-\alpha-D-ribofuranosylnaphth[1,2-d]imidazole **12** and 2',3',5'-Tri-O-benzoyl-1-\beta-D-ribofuranosylnaphth[1,2-d]imidazole **14**.

The previous anomeric mixture was also prepared with another method i.e., by treating 1-Trimethylsilylnaphth[1,2-d]imidazole **9** with 1-O-acetyl-2,3,5-Tri-O-benzoyl-β-D-ribofuranose **10** in the presence of Triflate. Separation of the anomers was achieved by chromatographical means and debenzylation yielded the corresponding nucleosides **13** and **15**. Structural proofs are based on elemental analysis, UV,  $^1\text{H}$  and  $^{13}\text{C}$ NMR.

**Keywords:** Anomeric mixture, nucleosides, imidazole, chromatography.

طريقة العمل	المقدمة
تم أخذ أطيف الأشعة فوق البنفسجية وذلك بإستخدام جهاز Model 1118, Appl.Physics Corp. UV-Spectrophotometer وأخذت أطيفات الطنين النووي المغناطيسي للبروتون والكربون-13 بإستخدام جهاز الطنين النووي المغناطيسي ذي النوع 250 and Jeol JNM-MH-100 high resolution spectrometer وبإستخدام المرجع الداخلي Tetramethylsilane خطوط الطيف باستخدام تدريج دلتا δ (ppm).	احتلت النكلوزيدات والنكلوتيدات مكانة طيبة مرموقة في مكافحة بعض الأمراض السرطانية (Fox et al, 1966) (Dziewiszek et al, 1994) بعضها تأثيراً مضاداً للفيروسات وبالأخص نكلوزيدات مشتقات الإيميدازول ومشتقات البنزإيميدازول (Seghal and Tamm, 1978) (Egyhazi, 1974). لذا كان الهدف من البحث تشيد ودراسة خواص نكلوزيدات تقوم على القاعدة Naphth[1,2-d]imidazole وذلك امتداداً لدراسات سابقة أجريت على Naphth[2,3-d]imidazole ribonucleosides.
أما فيما يتعلق بالفصل اللوني فقد أجرى على شرائح Silica gel من نوع 1550 LS 254 of Schleicher & Schull F 254 cm. شرائح الفصل النووي الزجاجية المعدة على ألواح زجاج 2040 Silica gel PF <sub>254</sub> of Merck/Darmstadt سمكها 0.2 cm. أما عمود الفصل النووي فقد تم استخدام Merch silica gel 60 مغطاة بطبقة من سماكة 0.063 - 0.2mm (Hijazi and Pfleiderer, 1984) ولمتابعة فيما إذا كان للنكلوزيدين α و β (أثر طبي أم لا).	(Hijazi, 1986), (Hijazi, 1988), (Hijazi and Pfleiderer, 1984) ولمتابعة فيما إذا كان للنكلوزيدين α و β (أثر طبي أم لا).
أخذ درجات انصهار المركبات المشيدة على جهاز Tottoli وهي غير مصححة.	

بخر محلول الناتج حتى الجفاف وأذيب المتبقي في 100 مل من ماء مغلي وبه فحم منشط (activated charcoal) ثم رش. عمولت الرشاشة الساخنة بمحلول النشارد المركز وبالتجريد ترسب المركب 8. رش ثم أعيدت بلوترته من الماء، فحصلنا على مادة بلورية يميل لونها إلى اللون الرمادي الفاتح (2.2 جم) بمزدوج وصل إلى 56% ودرجة انصهار (Dellweg *et al.*, 1956) 177 م، بينما كانت 179 م وفقاً لما ذكر (Dellweg *et al.*, 1956). وتظهر بيانات طيف  $^1\text{H-NMR}$  لهذا المركب في جدول 2.

هذا ولقد استخدم هيدرازين هيدرات ( $\text{H}_2\text{NNH}_2 \cdot \text{H}_2\text{O}$ ) بوجود نيكيل رني (Raney Nickel) في الحصول على 1,2,7-Diaminonaphthalene

أذيب 14 جم (0.074 مول) من المركب 5 في 140 مل إيثانول ثم أضيف إلى محلول 18 مل هيدرازين هيدرات (80%)، سخن محلول على حمام مائي مابين 30-40 م تحت مكثف راد وبعد ذلك أضيف لهذا المزيج 7 جم نيكيل رني معلق في 15 مل إيثانول وعلى أجزاء. سخن محلول حتى الغليان لمدة ساعة ثم رش الوسيط. قطر الإيثانول فتبقى مادة لزجة سوداء من المركب 7 (Schwetlick *et al.*, 1990). عمولت بـ 50 مل من حمض التمل كما في الطريقة السابقة وفي النهاية حصلنا على المركب 8 بنفس المزدوج السابق.

#### المركب 9 1-Trimethylsilylnaphth[1,2-d]imidazole

تم أخذ 0.084 جم (0.53 مل مول) من المركب 8 و 15 مل من هexamethyldisilazane (HMDS) وبضع بلوترات من كبريتات الأمونيوم، سخن المزيج تحت مكثف راد مع التحرير لمدة 30 دقيقة حتى أصبح محلول رائضاً. قطر الفائز من HMDS تماماً تحت ضغط منخفض، وتبقت القاعدة الميسالية 9 وكانت بمزدوج كامل ونقية فاستخدمت مباشرة في الحصول على:

#### 1-(2',3',5'-Tri-O- $\alpha$ -benzoyl- $\alpha$ -D-ribofuranosyl)naphth[1,2-d]imidazole 12

#### 1-(2',3',5'-Tri-O-benzoyl- $\beta$ -D-ribofuranosyl)(naphth[1,2-d] imidazole 14

ولقد حصل على 12 و 14 بطريقتين:  
الطريقة الأولى

أذيب 2.5 جم (0.41 مول) من:

#### 1-O-Acetyl-2,3,5-Tri-O-benzoyl- $\beta$ -D-ribofuranose 10

في 60 مل من شائي كلوروميثان ( $\text{CH}_2\text{Cl}_2$ ) ثم سبع محلول المبرد إلى درجة الصفر بغاز بروميد الهيدروجين خلال 15 دقيقة ثم ترك محلول (مع التحرير باستخدام محراك مغناطيسي) مدة 15 دقيقة عند درجة حرارة الغرفة، بخر محلول حتى النهاية، أضيف إلى الباقي 25 مل من ( $\text{CH}_2\text{Cl}_2$ ) جاف و 25 مل تولوين جاف ثم قطر هذا

#### المركب 5 2-Nitro-1-naphthylamine

أضيف 83 مل من حمض الخل بلا ماء إلى خليط من 100 جم (0.7 مول) 1-Naphthylamine و 500 مل من حمض الخل الجليدي. حرك الخليط بسرعة بواسطة المحراك المغناطيسي عند درجة حرارة الغرفة ولمدة 15 دقيقة. وبمجرد ظهور المادة المؤسلة على هيئة راسب أبيض، أضيف 53 مل من حمض التتروجين (كتافة 1.4) وذلك بالتنقيط. وبعد الانتهاء من إضافة حمض التتروجين حرك محلول لمدة نصف ساعة ثم أضيف إليه 12 جم من كربونات الناتريوم ببطء. تم حفظ محلول الناتج في الثلاجة لمدة ليلة. رش الخليط وغسل بمحلول حمض الخل (50%) وجفف في مجفف تحت ضغط منخفض فوق خماسي أكسيد الفسفور. يتكون هذا الناتج من خليط (46 جم) من:

- 4-Nitro-1-acetylaminonaphthalene 2
- 2-Nitro-1-acetylaminonaphthalene 1

أضيف 125 مل من الإيثانول و 125 مل من حمض الكبريت (50%) إلى الخليط السابق وسخن تحت مكثف راد لمدة 18 ساعة حيث حصلت عملية حلتها تامة Complete Hydrolysis (Hodgson and Walk, 1933)

أضيف الماء فترسب هيدروكلوريد الأمين الحر 3 و 4 ثم بعد ذلك عولج محلول الناتج بمركب نيتروبنزين (7 جم لكل 100 مل) وبغاز كلوريد الهيدروجين الجاف إلى أن تكونت عجينة وبدأ الخليط في التدفق. فصل المركب 4 بالترشيح. وغسل بنيتروبنزين وأضيف الغسول إلى الرشاشة. عولجت الرشاشة بحمض الكبريت المركز (1 مل من الحمض لكن 70 مل من نيتروبنزين).

ثم رش بنيتروبنزين وبالبنزين وجفف ثم أضيف إليه قليل من الماء وعولج بهيدروكسيد الناتريوم إلى أن أصبح الوسط قاعدياً فأعطي المركب 5 (5.1 جم)، درجة الانصهار 137-138 م، بينما كانت درجة الانصهار 143-144 م كما ذكر (Hodgson and Walker, 1933).

هذا ولقد تم فصل خليط 2-Nitro-1-naphthylamine و 4-Nitro-1-naphthylamine أيضاً باستخدام عمود الفصل على السليكا جل وبجملة (eluant) مكونة من كلوروفورم وأليل أسيتات بنسبة 20:1 فحصلنا على المركب المنشود 5.

#### المركب 8 Naphth [1,2-d] imidazole

أذيب 4.7 جم (0.025 مول) من المركب 5 في 160 مل من المثانول وفي وجود 80 جم من Pd/C (10 %) وتحت جو من غاز الهيدروجين ولمدة 20 ساعة. رش محلول وبخر حتى الجفاف. أضيف 20 مل من حمض النمل (formic acid) وسخن الخليط تحت مكثف راد لمدة 14 ساعة.

اتبعت الطريقة السابقة لانتزاع مجموعة البنزول من 1 جم (1.6 مل مول) من المركب **14** فأعطى 0.3 جم من المركب **15** بمردد 16% درجة الانصهار 190°-192° م.

تحليل العناصر لـ (300.3) C<sub>16</sub>H<sub>16</sub>N<sub>2</sub>O<sub>4</sub>

N	H	C
حسابياً	5.37	9.33
عملياً	5.27	63.85

#### الطريقة الثانية

أضيف 10 مل من 2.1-ثنائي كلوروإيثان إلى القاعدة الميسيلة **9** و 15 جم (0.063 مول) من السكر **10** و 2.3 مل من Trimethylsilyl trifluoromethane sulfonate (Triflate) في 10 مل 1.2-ثنائي كلوروإيثان ثم حرك المزيج على البارد ليوم كامل. غسل هذا الخليط النكليوزيدي بمحلول مشبع من بيكريلونات الناتريوم في قمع الفصل حيث استخلصت الأملاح السيليسيومينية الموجودة في الخليط بذوبانها في الطبقة المائية. ثم غسل محلول بالماء عدة مرات. فصلت الطبقة العضوية ثم جففت فوق كبريتات الناتريوم ثم قطرت حتى الجفاف تحت ضغط منخفض، حينذاك نشأت مادة رغوية هي مزيج يمثل خليطاً أنوميريا من **12** و **14** حيث فصل كما في الطريقة الأولى وانتزعت مجموعات البنزول الواقية لنحصل على التماكبين **13** و **15** وكانت نتائج التحليل الدقيق للعناصر CHN مطابقة لما تم الحصول عليه من الطريقة الأولى كذلك أطياف UV و <sup>1</sup>H, <sup>13</sup>C NMR.

#### النتائج والمناقشة

لقد شيدت القاعدة (الأجلكون) **8** لدى معاملة المركب **7** بحمض النمل (Dellweg *et al*, 1956) أما المركب **7** فقد شيد بمعاملة 1-Naphthylamine (حمض الخل بلا ماء) (Schwetlick *et al*, 1990) وكذلك باستخدام H<sub>2</sub>Pd/C (Dellweg *et al*, 1956) وقد حل الهالوجين في السكر محل الأستيل وذلك بإمرار غاز HBr في المذاب به **10**. وبوجود بعض بلورات من KI فتكون خليط من متماكبين ألفا (α) وبتا (β) **12** و **14** فصل التماكبان عند بعضهما بواسطة عمود الفصل اللوني (سليكا جل) وباستخدام جملة مكونة من 2-1.2-ثنائي كلوروإيثان وإيثيل أسيتات بنسبة 1:20. أما الطريقة الثانية التي حضر بها **12** و **14** فكانت بمعاملة القاعدة

المزيج حيث تكون المركب **11** الذي أذيب في 30 مل بنزين جاف (المزيج الأول). أما المركب **9** فأذيب في 30 مل بنزين جاف (المزيج الآخر)، أضيف المزيج الأول إلى الآخر، ثم بخر البنزين حتى النهاية، فتبقي مادة غليظة القوام، أضيف إليها 30 جم من يوديد الكالسيوم (KI) ثم سخن لمدة ساعة عند درجة حرارة 130° م وتحت ضغط منخفض mmHg 200 بعد التبريد في 250 مل كلوروفورم دافئ ثم رشح راسب ضئيل من المادة الأم 8 لم يدخل التفاعل، عُولمت الرشاشة بـ 30 مل من محلول بيكريلونات الناتريوم (1N, NaHCO<sub>3</sub>)، ثلاث مرات ثم غسلت الرشاشة مرتين بالماء ومن ثم فصلت الطبقة العضوية وجففت فوق كبريتات الناتريوم (Na<sub>2</sub>SO<sub>4</sub>) رشحت الطبقة العضوية ثم بخرت إلى الجفاف ومن ثم أضيف إلى المتبقى 100 مل مثانول وقطر المثانول ثانية مخلفاً مادة رغوية (anomeric) **12** و **14** فصل هذا المزيج بعمود فصل (Column chromatography) باستعمال جملة مكونة من 2.1-ثنائي كلوروإيثان وإيثيل أسيتات بنسبة 1:20 حيث فصل 0.55 جم من الصنو بـ **14** أولأ بمردد 27.5% درجة الانصهار 110° م وعلى هيئة مادة صلبة غير بلورية.

تحليل العناصر لـ (612.6) C<sub>37</sub>H<sub>28</sub>N<sub>2</sub>O<sub>7</sub>

N	H	C
حسابياً	4.61	72.54
عملياً	4.75	72.49

جمع الصنو ألفا (α-anomer) **12** فكان مادة غروية تزن 1.2 جم بمردد 60% درجة الانصهار 100° م.

تحليل العناصر لـ (612.6) C<sub>37</sub>H<sub>28</sub>N<sub>2</sub>O<sub>7</sub>

N	H	C
حسابياً	4.61	72.54
عملياً	4.69	72.00

المركب **13** 1-(α-D-Ribofuranosyl)naphth[1,2-d]imidazole علق 0.4 جم (0.7 مل مول) من المركب **12** في 200 مل من المثانول المطلق ثم أضيف إليه 30 مجم ناتريوم فذاب المعلق مع الزمن وبالتحريك المستمر خلال 4 ساعات عند درجة حرارة الغرفة. خفف محلول بالماء وعوّد بقطارات من حمض الخل ثم قطر حتى الجفاف. أذيب المتبقى في 10 مل ماء وقطر الماء ثانية (تكررت هذه العملية ثلاث مرات) ثم تكررت 10 مل مثانول عادي ليعطي 0.15 جم من المركب **13** بمردد 76.5% درجة الانصهار 219-223° م.

تحليل العناصر لـ (300.3) C<sub>16</sub>H<sub>16</sub>N<sub>2</sub>O<sub>4</sub>

N	H	C
حسابياً	5.37	63.99
عملياً	5.49	63.92

المركب **15** 1-(β-D-Ribofuranosyl)naphth[1,2-d]imidazole

المسيلة 9 بالاسكر 10 وباضافة Triflate تكون خليط من 12 و 14 فصل هذان المتماكبان عن بعضهما كما في الطريقة الأولى. عوامل المتماكبان  $\alpha$  و  $\beta$  12 و 14 بمت أكسيد الناتريوم ( $\text{NaOCH}_3$ ) في وسط المثانول المطلق وفقاً لطريقة Zemplen (Zemplen *et al.*, 1936) فحصل على النكليوزيدين  $\alpha$  و 13 و 15 (مخطط 2). ولقد توثق من الصيغ الجزيئية التي يأخذها كل متماكب بوساطة تحليل العناصر (CHN) أما تحديد الصيغ البنائية والوضع الفراغي لكل منها فكان عن طريق طيف الأشعة فوق البنفسجية UV (جدول 1) وطيف الطنين النووي المغناطيسي  $^1\text{NMR}$  (جدول 2) إضافة إلى  $^{13}\text{NMR}$ .

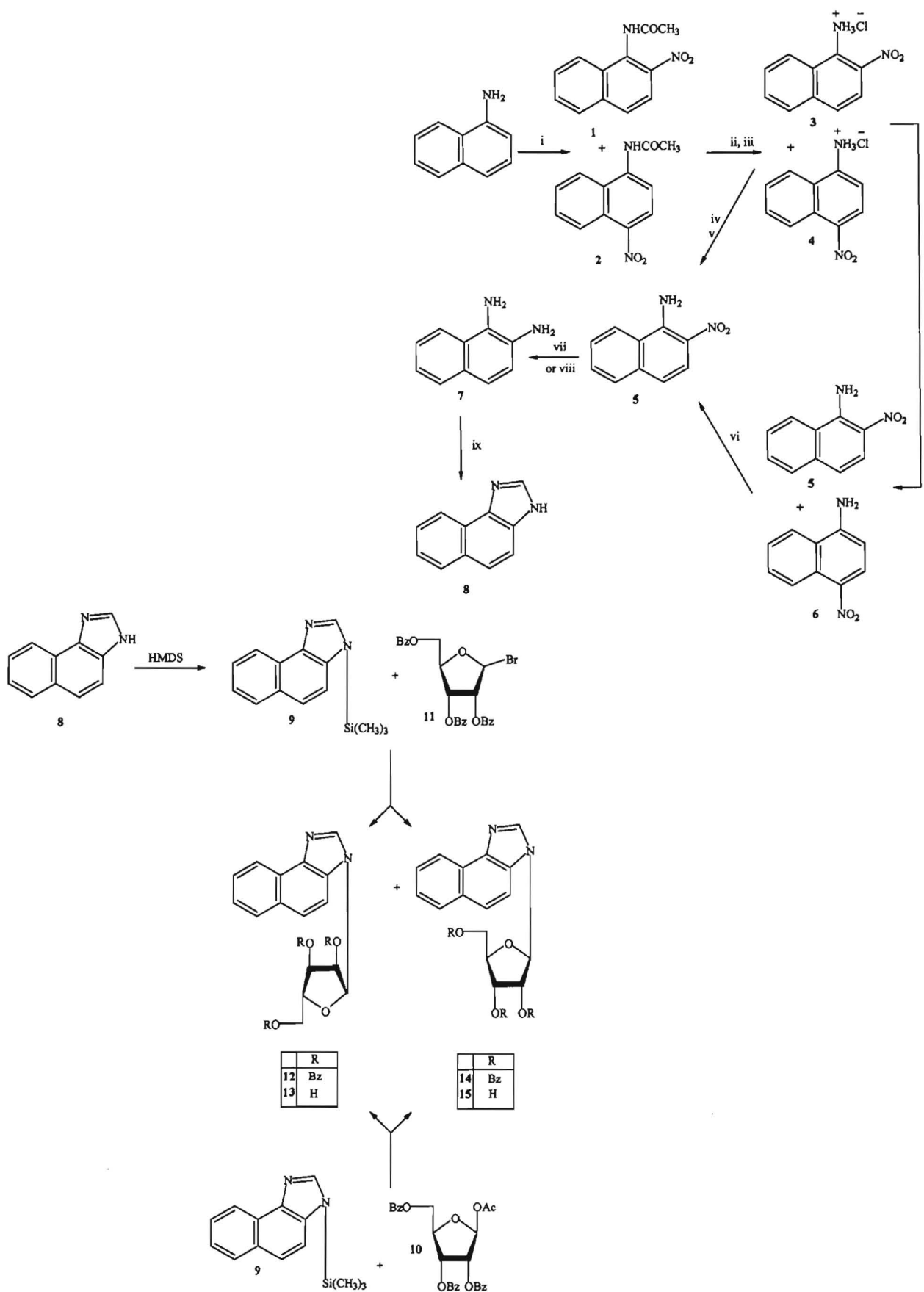
جدول (1) طيف امتصاص UV لمشتقات MeOH + Naphth[1,2-d]imidazole

-naphth[1,2-d]imidazole	$\lambda_{\text{max}}$ (nm)*			log ε		
1-(2,3,5-Tri-O-benzoyl- $\alpha$ -D-ribofuranosyl) 12	323	313.5	283	3.82	3.87	3.62
		275.5	237	3.60	4.96	
1-(2,3,5-Tri-O-benzoyl- $\beta$ -D-ribofuranosyl) 14	325	313.5	282	3.79	3.84	3.61
		274.5	236.5	3.60	4.95	
1- $\alpha$ -D-ribofuranosyl-13	324	317	310.5	3.88	3.66	3.79
	[290]	280	[271]	[4.02]	4.09	[4.03]
	[254]	236	[231]	[4.34]	4.99	[4.98]
	[223]			[4.88]		
1- $\beta$ -D-ribofuranosyl-15	324	317	310.5	3.88	3.66	3.79
	290	280	[271]	4.03	4.12	[4.04]
	[254]	236	231	[4.34]	4.99	4.98
	[224]			[4.90]		

جدول (2) طيف امتصاص  $^1\text{H}$  لمشتقات CDCl<sub>3</sub>, D<sub>6</sub>-DMSO + Naphth[1,2-d]imidazole

	C <sub>2</sub> -H	Other Aromatic Protons	C <sub>1</sub> -H	C <sub>2'</sub> -H	C <sub>3'</sub> -H	C <sub>4'</sub> -H	C <sub>5'</sub> -H	C <sub>2</sub> -OH	C <sub>3</sub> -OH
1	8.30 (s)	8.41 (1H, d, J=8.0) 7.98 (1H, d, J=8.0) 7.44-7.77(4H, m)							
5*	8.55	(s)8.63 (1H, d, J=7.3) 8.12 (2H, dd J=7.3, 1.8) 7.89 (2H, dd J=7.3, 1.8) 7.05-7.70 (16H,m)	6.79 (d, J=6.0)	6.20 (t, J=7.0)	6.05 (q, J=6.0)	5.05 (q, J=5.9)	4.78 (2H,dd, J=12, 3)		
7*	8.34 (s)	8.63 (1H, d, J=7.3) 8.12 (2H, dd J=7.3, 1.8) 7.98 (2H, dd J=7.3, 1.8) 7.30-7.94 (16H, m)	6.49 (d, J=6.0)	6.08 (t, J=6.1)	5.99 (q, J=5.9)	4.75-4.95 (3H, m)			
6	8.46 (s)	8.47 (1H, d, J=8.0)  7.99 (1H, d, J=8.0) 7.84 (1H, d, J=8.0) 7.73 (1H, d, J=8.0) 7.61 (1H, pt) 7.50 (1H, pt)	6.41 (q, J=4.3)	4.37 (q, J=6.1)	4.25 (q, J=5.9)	4.18 (bq)	3.49-3.72 (2H, m)	5.47 (d, J=6.0)	5.29 (d, J=6.0)
8	8.47	8.53 (1H, s) 8.01 (1H, d, J=8.0) 7.94 (1H, d, J=8.0) 7.75 (1H, d, J=8.0) 7.63 (1H, dd J=8.0, 1.8) 7.05 (1H, dd J=8.0, 1.8)	5.99 (d, J=6.1)	4.41 (q, J=6.1)	4.16 (q, J=5.9)	4.05 (q, J=5.9)	3.61-3.77 (2H, m)	5.51 (d, J=6.1)	5.25 (d, J=6.1)

pt = pseudotriplet; bq = broad quadruplet, \* $^1\text{H}$  NMR taken in CDCl<sub>3</sub>, J in Hz



1:  $\text{Ac}_2\text{O}$ ,  $\text{AcOH}$ ,  $\text{HNO}_3$  2: 50%  $\text{H}_2\text{SO}_4$ ,  $\text{EtOH}$  3:  $\text{HCl(g)}$  4: c. $\text{H}_2\text{SO}_4$  5:  $\text{NaOH}$

6: column chromatography,  $\text{CHCl}_3$  : ethylacetate (20:1) 7:  $\text{H}_2$  /Pd /C 8:  $\text{NH}_2\text{NH}_2 \cdot \text{H}_2\text{O}$  Raney Ni

9:  $\text{HCOOH}$

- Hijazi, A** (1986) Nucleosides, III Synthesis and Properties of 2-trifluoromethyl-naphthimidazole-Ribonucleoside. *Nucleosides & Nucleotides*. **5**: 529-537.
- Hijazi, A** (1988) Nucleosides, IV Synthesis and Properties of 2-methylthio-naphthimidazole-Ribonucleoside. *Nucleosides & Nucleotides*. **4**: 537-547.
- Hijazi, A and Pfleiderer, W** (1984) Nucleosides, XL Synthesis and Properties of 1n-naphthimidazole-Ribonucleosides. *Nucleosides & Nucleotides*. **3**: 549-557.
- Hijazi, A and Pfleiderer, W** (1986) Nucleosides, XLII Synthesis and Properties of 1n-naphthimidazole-Ribosides. *Nucleosides & Nucleotides*. **5**: 243-525.
- Hodgson, HH and Walker, J** (1933) The nitration of Aceto- $\alpha$ -naphthalide, and the preparation of 2- and 4-Nitro-1-naphthylamines. *J. Chem. Soc.* 1205-1207.
- Lemieux, RU, Kulling, RX, Bernstein, HJ, and Schneider, WG** (1958) Configurational Effect on the Proton Magnetic Resonance Spectra of Six-membered Ring Compounds. *J. Am. Chem. Soc.* **80**: 6098-6105.
- Nishimura, T and Shimizu, B** (1965) Studies on synthetic nucleosides V. Anomeric pyrimidine nucleosides of D-arabinose and D-lyxose. *Chem. Pharm. Bull.* **13**: 803-810.
- Revankar, GR and Townsend, LB** (1968) The Synthesis of 2-Chloro-1( $\beta$ -D-ribofuranosyl) benzimidazole and Certain Related Derivatives. *J. Heterocycl. Chem.* **5**: 477-483.
- Robins, MJ and Robins, RK** (1965) Purine nucleosides. XI. The synthesis of 2'-deoxy-9-alpha-and-beta-D-ribofuranosylpurines and the correlation of their anomeric structure with proton magnetic resonance spectra. *J. Am. Chem. Soc.* **87** (21): 4934-4940.
- Saunders, CR and Hamilton, CS** (1932) Isomeric Nitro-and Aminonaphthalene-arsonic acids. *J. Am. Chem. Soc.* **54**: 636-640.
- Schwertlick, K, et al.** (1990) Organikum, Ed. Deutscher Verlag der Wissenschaften, Berlin, 18<sup>th</sup> Ed., p. 655.
- Secrist III, et al.** (1999) Gene Therapy of Cancer: Activation of Nucleoside Prodrugs wth *E. Coli* Purine Nucleoside Phosphorylase. *Nucleosides & Nucleotides*. **18** (4, 5): 745-757.
- Seghal, PB and Tamm, I** (1978) Halogenated Benzimidazole Ribosides, Novel inhibitors of RNA synthesis. *Biochem. Pharmacology*. **27**: 2475-2485.
- Southon, IW and Pfleiderer, W** (1978) Synthese und Eigenschaften von Benzimidazol-nucleosiden. *Chem. Ber.* **111**: 996-1005.
- Stevens, JD, Ness, RK, and Flechter, HG** (1968) Synthesis with partially benzylated sugars. XI. Studies on the synthesis of the anomeric 5,6-dimethyl-1-D-ribofuranosylbenzimidazoles (ribazoles). Comparison of the condensation of 2,3,5-tri-O-benzoyl-D-ribofuranosyl bromide and 2,3,5-tri-O-benzyl-D-ribofuranosyl chloride with 5,6-dimethylbenzimidazole. *J. Org. Chem.* **33**: 1806-1810.
- Zemplen, G, Gerecs, A, and Hadacsy, J** (1936) Ueber die Verseifung acetylierter Kohlenhydrate. *Ber. Dtsch. Chem. Ges.* **69**: 1827-1829.

Received 20<sup>th</sup> Aug. 2002.; in revised form 4<sup>th</sup> Dec. 2003

**طيف:  $^1\text{HNMR}$**   
 يتضح تكون متماكبي ما قبل النكليوزيد الصناعيين  $\alpha$  و  $\beta$  12 و 14 مقارنة طيف كل من بروتوناتها والمتماكبين الصناعيين 13 و 15 بطيف الأجلون ، حيث ظهرت خطوط طيف بروتونات السكر في طيف هذه المتماكبات. أما تحديد هيئة الرابطة الجليكوزيدية في هذه المتماكبات فكانت عن طريق ملاحظة امتصاص بروتون السكر ( $^{1}\text{-H}$ ) ، إذ ثبت من خلال مقاالت منشورة سابقاً أن الانزياح الكيميائي للبرتون الانسوميري ( $^{1}\text{-H}$ ) للمتماكب ألفا ( $\alpha$ ) أقرب في الظهور عند مجال أدنى Downfield مقارنة بالانزياح الكيميائي للتراكب بتا ( $\beta$ ) (Lemieux *et al.*, 1958; Nishimura and Shimizu, 1965; Robins and Robins, 1965; Souton and Pfleiderer, 1978) يتبيّن هنا إذا ما قورن خط طيف هذا البرتون ثالثي الانشطار 12 في أطيف هذه المتماكبات. ففي طيف المتماكب ( $\alpha$ -anomer) يلاحظ أن امتصاص ( $^{1}\text{-H}$ ) يحصل عند  $\delta$  6.79 أما بالنسبة للمتماكب 14 فقد بُرِزَ عند  $\delta$  6.49 ، وظهر خط طيف بروتون المتماكب ( $\beta$ -anomer) 13 عند  $\delta$  6.41 و بروتون المتماكب 15 ( $\beta$ -anomer) عند  $\delta$  99.5

**طيف:  $^{13}\text{CNMR}$**   
 يتضح تكون المتماكبين 12 و 14 من ملاحظة طيفيهما  $^{13}\text{NMR}$  ومقارنتهما بطياف الأجلون 8 فقد ظهرت في طيفي 12 و 14 خطوط طيف ذرات فحم السكر عند (88.5, 81.2, 74.2, 71.0, 63.5)  $\delta$  و يؤكد هذا أيضاً ظهور ثلاثة خطوط طيف جديدة عند 165.3, 165.0 (166.1)  $\delta$  وهي تشير من خلال مواقعها في الطيف إلى امتصاص ذرات فحممجموعات الكربونيل الثلاث الموجودة فيمجموعات حمایة السكر (البنزويل). أما بالنسبة لمتماكب النكليوزيد 13 و 15 فيتضح تكونهما من خلال مقاومة طيف  $^{13}\text{CNMR}$  لهم مع طيفي المتماكبين 12 و 14 حيث اختفت في طيفيهما خطوط طيف ذرات الفحم الخاصة بمجموعات الكربونيل الثلاث مما يشير إلى انزعاجمجموعات البنزويل، يؤكد ذلك أن خطوط طيف ذرات الفحم العطرية في طيفيهما تمثل امتصاص ذرات فحم الأجلون فقط، حيث اختفت خطوط طيف ذرات فحممجموعات البنزويل الثلاث التي كانت موجودة في طيفي 12 و 14.

#### المراجع الانجليزية

- Dellweg, H, Becher, E, and Bernhauer, UK** (1956) Biosynthesis in the cobalamin series. IV. Naphtho-2', 3',4,5-imidazol-cobalamin analogues. *Biochemische Zeitschrift*, Bd. **328** (2): 96-100.
- Dziewiszek, et al.** (1994) Derivatives of 1-(2-Deoxy-2-fluoro- $\beta$ -D-arabinofuranosyl)-5-phenyluracil and 5-benzyluracil Synthesis and Biological Properties. *Nucleosides & Nucleotides*. **13** (1-3), 77-94.
- Egyhazi, E** (1974) A Tentative Initiation of Chromosomal Heterogeneous RNA Synthesis. *J. Molec. Biol.* **84**: 173-183.
- Fox, JJ, Watanab KA, and Bloch A** (1966) Nucleoside antibiotics. *Prog. Nucleic Acid Res. Mol. Biol.* **5**: 251-313.
- Frame, AS, Wightman, RH, and Mackenzie, G** (1996) Synthesis of 5-Amino-4-sulfonamidoimidazol Nucleosides as Potential Inhibitirs of Purine Nucleotide Biosynthesis, and of an Imidazothiadiazine. Dioxide Analogue of Adenosine. *Tetrahedron*. **52** (27): 9219-9236.